

# IIR数字滤波器的直接设计

## 实验涉及的MATLAB子函数

### 1.butter

**功能：** 巴特沃斯(Butterworth)模拟或数字滤波器设计。

**调用格式：**

$[b, a] = \text{butter}(n, wn)$ ; 设计截止频率为 $wn$ 的 $n$ 阶巴特沃斯数字滤波器，即

$$H(z) = \frac{B(z)}{A(z)} = \frac{b(1) + b(2)z^{-1} + \cdots + b(n+1)z^{-n}}{1 + a(2)z^{-1} + \cdots + a(n+1)z^{-n}} \quad (15-1)$$

其中，截止频率是幅度下降到 处的频率。  
 $w_n \in [0, 1]$ ，1对应 $0.5F_s$ (取样频率)。 $w_n = [w_1, w_2]$   
时，产生数字带通滤波器。

$[b, a] = \text{butter}(n, w_n, \text{'ftype'})$ ；可设计高通和带阻  
数字滤波器。 $\text{ftype} = \text{high}$ 时，设计高通滤波器； $\text{ftype} = \text{stop}$   
时，设计带阻滤波器，此时 $w_n = [w_1, w_2]$ 。

$[b, a] = \text{butter}(n, w_n, \text{'s'})$ ；设计截止频率为 $w_n$ 的 $n$   
阶巴特沃斯模拟低通或带通滤波器，其中 $w_n > 0$ 。即

$$H(s) = \frac{B(s)}{A(s)} = \frac{b(1)s^n + b(2)s^{n-1} + \cdots + b(n+1)}{s^n + a(2)s^{n-1} + \cdots + a(n+1)}$$

$[b, a] = \text{butter}(n, wn, 'ftype', 's')$ ; 设计截止频率为 $wn$ 的 $n$ 阶巴特沃斯模拟高通或带阻滤波器。

$[z, p, k] = \text{butter}(n, wn)$ 和  $[z, p, k] = \text{butter}(n, wn, 'ftype')$ 可得到巴特沃斯滤波器的零极点增益表示。

$[A, B, C] = \text{butter}(n, wn)$ 和  $[A, B, C] = \text{butter}(n, wn, 'ftype')$ 可得到巴特沃斯滤波器的状态空间表示。

## 2.cheby1

**功能：** 切比雪夫 I 型滤波器设计(通带等波纹)。

**调用格式：**

$[b, a] = \text{cheby1}(n, R_p, W_n)$ ; 设计截止频率为 $w_n$ 的 $n$ 阶切比雪夫 I 型数字低通和带通滤波器。

$[b, a] = \text{cheby1}(n, R_p, W_n, 'ftype')$ ; 设计截止频率为 $w_n$ 的 $n$ 阶切比雪夫 I 型数字高通和带阻滤波器。

$[b, a] = \text{cheby1}(n, R_p, W_n, 's')$ ; 设计切比雪夫 I 型模拟低通和带通滤波器。

$[b, a] = \text{cheby1}(n, R_p, W_n, 'ftype', 's');$  设计模拟高通和带阻滤波器。

$[z, p, k] = \text{cheby1}(...);$  可得到切比雪夫 I 型滤波器的零极点增益表示。

$[A, B, C, D] = \text{cheby1}(...);$  可得到切比雪夫 I 型滤波器的状态空间表示。

说明：切比雪夫 I 型滤波器其通带内为等波纹，阻带内为单调。切比雪夫 I 型滤波器的下降斜率比 II 型大，但其代价是在通带内的波纹较大。

与butter函数类似，cheby1函数可设计数字域和模拟域的切比雪夫 I 型滤波器，其通带内的波纹由Rp(分贝)确定。其它各公式的使用方法与butter函数相同，可参考相应公式。

### 3.cheby2

**功能：**切比雪夫Ⅱ型滤波器设计(阻带等波纹)。

**调用格式：**

$[b, a] = \text{cheby2}(n, As, Wn)$ ; 设计截止频率为 $w_n$ 的 $n$ 阶切比雪夫Ⅱ型数字低通和带通滤波器。

$[b, a] = \text{cheby2}(n, As, Wn, 'ftype')$ ; 设计截止频率为 $w_n$ 的 $n$ 阶切比雪夫Ⅱ型数字高通和带阻滤波器。

$[b, a] = \text{cheby2}(n, As, Wn, 's')$ ; 设计切比雪夫Ⅱ型模拟低通和带通滤波器。

$[b, a] = \text{cheby2}(n, As, Wn, 'ftype', 's')$ ; 设计模拟高通和带阻滤波器。



$[z, p, k] = \text{cheby2}(\dots)$ ; 可得到切比雪夫 II 型滤波器的零极点增益表示。

$[A, B, C, D] = \text{cheby2}(\dots)$ ; 可得到切比雪夫 II 型滤波器的状态空间表示。

说明: `cheby2`函数其通带内为单调, 阻带内为等波纹, 因此, 由 $A_s$ 确定阻带内的波纹。其它各公式的使用方法与`butter`函数相同, 可参考相应公式。

## 4.ellip

**功能：**椭圆滤波器设计。

**调用格式：**

$[b, a] = \text{ellip}(n, R_p, A_s, W_n)$ ; 设计截止频率为  $w_n$  的  $n$  阶椭圆数字低通和带通滤波器。

$[b, a] = \text{ellip}(n, R_p, A_s, W_n, 'ftype')$ ; 设计截止频率为  $w_n$  的  $n$  阶椭圆数字高通和带阻滤波器。

$[b, a] = \text{ellip}(n, R_p, A_s, W_n, 's')$ ; 设计椭圆模拟低通和带通滤波器。

$[b, a] = \text{ellip}(n, R_p, A_s, W_n, 'ftype', 's')$ ; 设计模拟高通和带阻滤波器。

$[z, p, k] = \text{ellip}(\dots)$ ; 可得到椭圆滤波器的零极点增益表示。

$[A, B, C, D] = \text{ellip}(\dots)$ ; 可得到椭圆滤波器的状态空间表示。

Ellip函数可得到下降斜度更大的滤波器，但在通带和阻带内均为等波动的。椭圆滤波器能以最低的阶数实现指定的性能。

### 三、实验原理

#### 1.用直接法设计模拟和数字滤波器

在前面讨论IIR数字滤波器设计的实验中，我们采用先设计模拟低通原型滤波器，再变换成实际模拟滤波器的方法，如图15-1所示的方法1。这个过程一般要使用以下几条程序：

```
[z0, p0, k0] = buttap(n);    %归一化原型设计  
ba = k0*real(poly(z0)); %求原型滤波器系数b  
aa = real(poly(p0)); %求原型滤波器系数a  
[ba1, aa1] = lp2lp(ba, aa, Omgc); %变换为模拟低  
                                通滤波器系数b, a
```

本实验介绍的设计模拟滤波器的方法——直接法，则采用图15-1所示的方法2。只需用一条程序就可替代上面4行程序，即

```
[ba1, aa1] = butter(n, wc, 's');
```

这条程序执行后，将生成一组实际的模拟滤波器系数。这条程序中的's'是不能缺少的，如果不加's'，则设计的结果是数字滤波器，如

```
[bd, ad] = butter(n, wn);
```

这条程序执行后，整个设计已经进行到图15-1所示的最后一步。

下面分别介绍各类实际模拟滤波器和数字滤波器的设计。

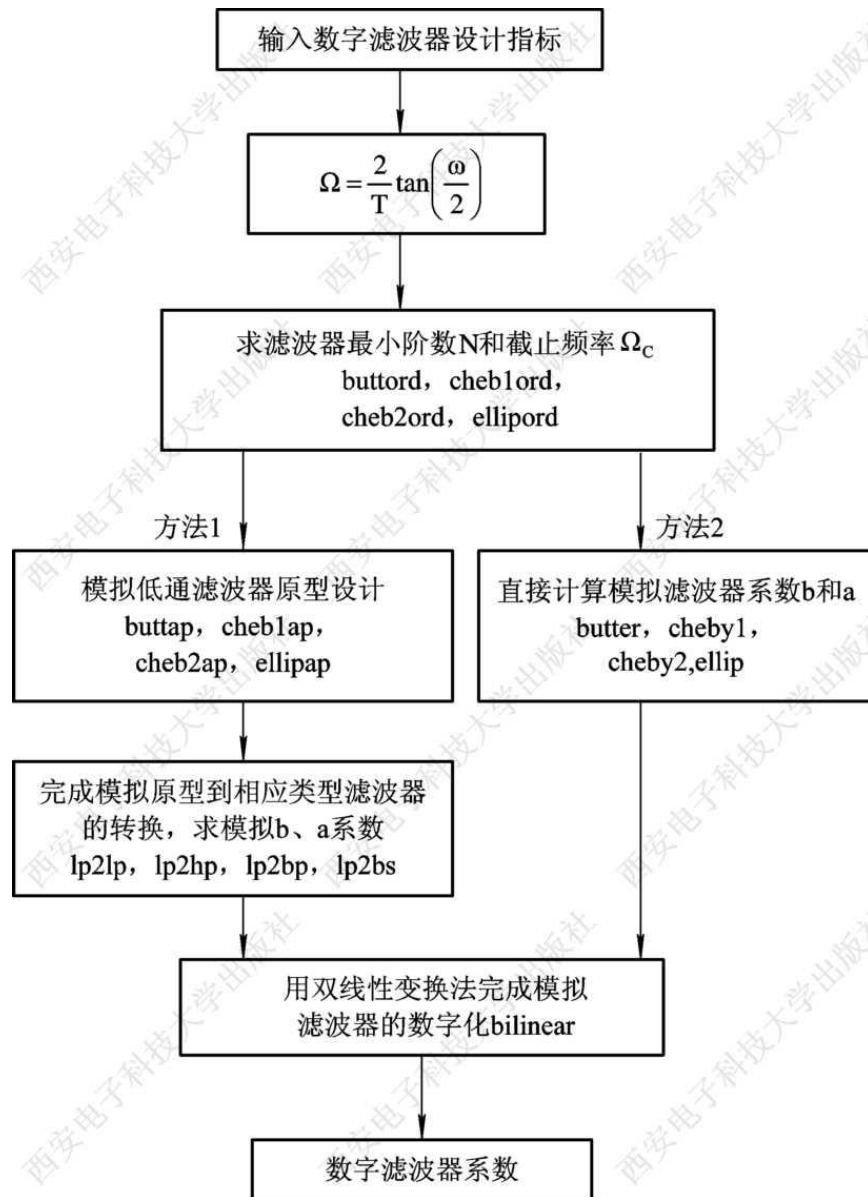


图15-1 IIR数字滤波器的设计步骤

## 2.IIR数字滤波器设计方法的比较

**例15-1** 设计一个巴特沃斯数字低通滤波器，要求通带 $f_p = 150$  Hz， $R_p = 3$  dB；阻带 $f_s = 250$  Hz， $A_s = 20$  dB，滤波器采样频率 $F_s = 800$  Hz。

**解** 用图15-1所示的方法1、方法2及数字滤波器直接法求解，程序如下：

%数字滤波器指标

$f_p = 150$ ;  $f_s = 250$ ;  $F_s = 800$ ;  $T = 1/F_s$ ;

$w_p = f_p/F_s * 2 * \pi$ ;      %数字滤波器的通带截止频率

$w_s = f_s/F_s * 2 * \pi$ ; %数字滤波器的阻带截止频率

$R_p = 3$ ;  $A_s = 20$ ; %输入滤波器的通阻带衰减指标

%转换为模拟滤波器指标

$\Omega_{mp} = (2/T) * \tan(\omega_p/2)$ ;

$\Omega_{ms} = (2/T) * \tan(\omega_s/2)$ ;

$[n, \Omega_{mc}] = \text{buttord}(\Omega_{mp}, \Omega_{ms}, R_p, A_s, 's')$

%计算阶数 $n$ 和截止频率

%方法1: 模拟原型滤波器计算

$[z_0, p_0, k_0] = \text{buttap}(n)$ ; %归一化巴特沃斯原型设计

计

$ba = k_0 * \text{real}(\text{poly}(z_0))$ ; %求原型滤波器系数 $b$



aa = real(poly(p0)); %求原型滤波器系数a

[ba<sub>1</sub>, aa<sub>1</sub>] = lp2lp(ba, aa, Omgc); %变换为模拟低通滤波器

[bd1, ad1] = bilinear(ba<sub>1</sub>, aa<sub>1</sub>, Fs)%双线性变换

[H1, w1] = freqz(bd1, ad1);

dbH1 = 20\*log10(abs(H1)/max(abs(H1))); %化为分贝值

%方法2: 直接求模拟滤波器系数

[ba<sub>2</sub>, aa<sub>2</sub>] = butter(n, Omgc, 's');

%用双线性变换法计算数字滤波器系数

```
[bd2, ad2] = bilinear(ba2, aa2, Fs)    %双线  
                                         性变换
```

```
[H2, w2] = freqz(bd2, ad2);  
dbH2 = 20*log10(abs(H2)/max(abs(H2))); %化为分贝值  
%方法3: 直接求数字滤波器系数
```

```
[n3, wc3] = buttord(wp/pi, ws/pi, Rp, As);  
[bd3, ad3] = butter(n3, wc3)  
[H3, w3] = freqz(bd3, ad3);  
dbH3 = 20*log10(abs(H3)/max(abs(H3))); %化为分贝值  
subplot(3, 2, 1), plot(w1/2/pi*Fs, dbH1, 'k');
```

```
title('方法1幅度响应( dB)'); axis( [0, Fs/2, -40,  
5] );  
ylabel(' dB');  
set(gca, 'XTickMode', 'manual', 'XTick', [0, fp,  
fs, Fs/2] );  
set(gca, 'YTickMode', 'manual', 'YTick', [-50,  
-20, -3, 0] ); grid  
subplot(3, 2, 2), plot(w1/2/pi*Fs, angle(H1)/pi*180,  
'k');  
title('相位响应'); axis( [0, Fs/2, -180, 180] );  
ylabel(' \ phi');
```

```
set(gca, 'XTickMode', 'manual', 'XTick', [0, fp,  
fs, Fs/2] );
```

```
set(gca, 'YTickMode', 'manual', 'YTick', [-180,  
0, 180] ); grid
```

作图部分只给出了方法1的程序，其余两种方法的作图程序基本与方法1相同。

程序运行结果如下：

$$n = 3$$

$$\text{Omgc} = 1.1133\text{e} + 003$$

$$\text{bd1} = 0.0911 \quad 0.2734 \quad 0.2734 \quad 0.0911$$

$$\text{ad1} = 1.0000 \quad -0.6526 \quad 0.4465 \quad -0.0649$$

$$\text{bd2} = 0.0911 \quad 0.2734 \quad 0.2734 \quad 0.0911$$

$$\text{ad2} = 1.0000 \quad -0.6526 \quad 0.4465 \quad -0.0649$$

$$\text{bd3} = 0.0911 \quad 0.2734 \quad 0.2734 \quad 0.0911$$

$$\text{ad3} = 1.0000 \quad -0.6526 \quad 0.4465 \quad -0.0649$$

频率响应特性曲线如图15-2所示。

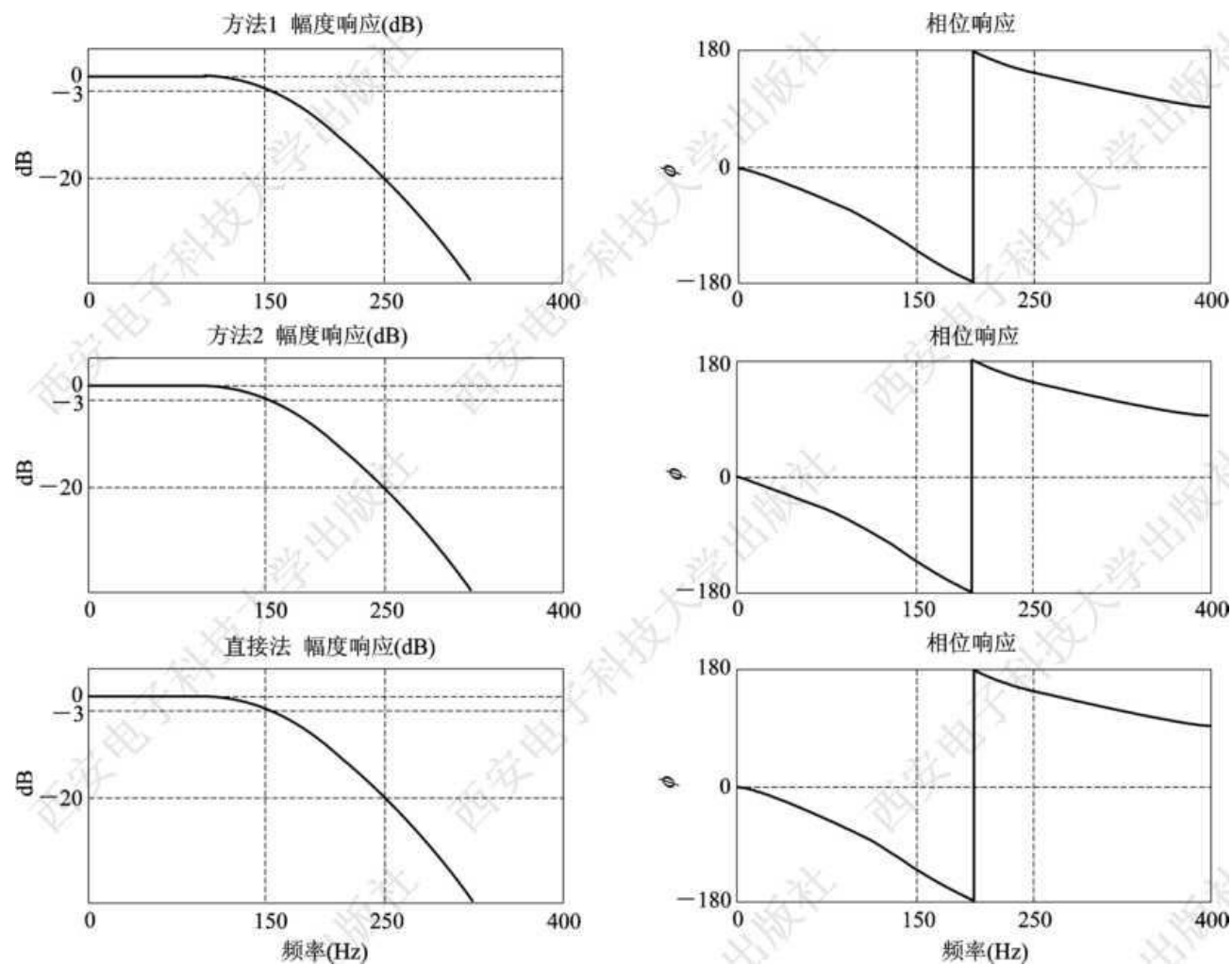


图15-2 三种方法设计的IIR数字滤波器的频率响应

由上述三种方法设计数字滤波器的结果看，三组数据和图形完全相同；从程序结构上看，直接法比其它两种方法简单得多。

另外，由于大规模集成电路和计算机技术的迅速发展，模拟滤波器的设计只是为了最终设计数字滤波器进行的前期准备，因此，下面的讨论以数字滤波器的设计为主，不再讨论模拟滤波器的设计。

### 3.用MATLAB直接法设计IIR数字滤波器

**例15-2** 采用MATLAB直接法设计一个巴特沃斯数字高通滤波器，要求： $\omega_p = 0.25\pi$ ， $R_p = 1$  dB； $\omega_s = 0.4\pi$ ， $A_s = 20$  dB，滤波器采样频率 $F_s = 200$ Hz。要求描绘其幅频特性和相频特性曲线，列写系统传递函数表达式。解 程序如下：

```
ws = 0.25;           %数字滤波器的阻带截止频率
wp = 0.4; %数字滤波器的通带截止频率
Rp = 1; As = 20; %输入滤波器的通阻带衰减指标
Fs = 200;
```



`[n, wc] = buttord(wp, ws, Rp, As)`%计算阶数n和  
截止频率

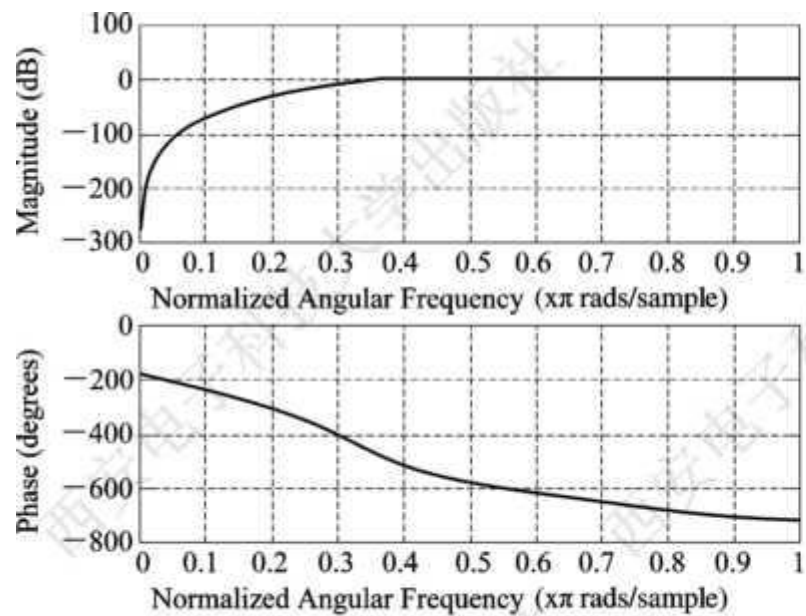
`[b, a] = butter(n, wc, 'high')`%直接求数字高通滤  
波器系数

`freqz(b, a);` %求数字系统的频率特性

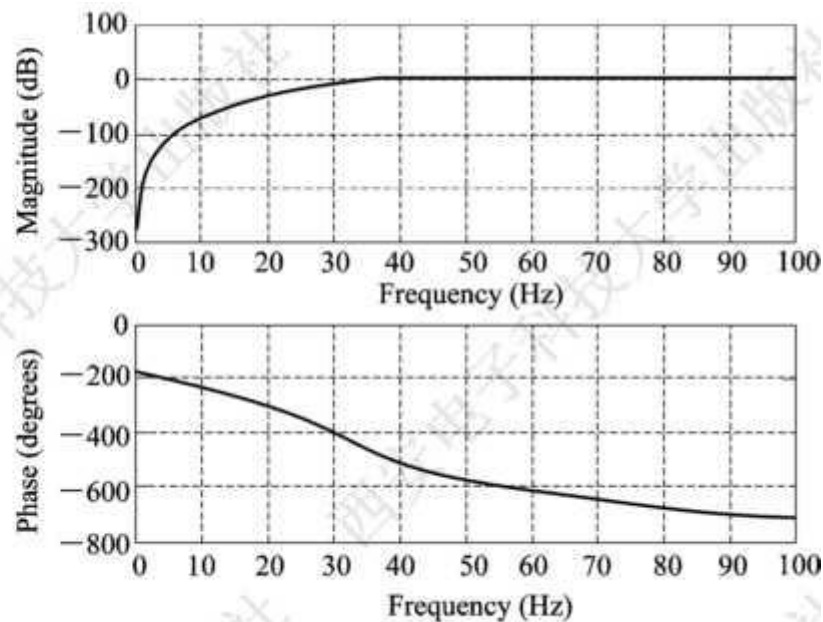
程序执行结果如图15-3(a)所示。从图中可见，横轴是  
归一化的频率坐标，其单位是 $\pi$ ，长度对应采样频率的一半。  
如果要显示实际的频率数值，则应输入下一条程序：

`freqz(b, a, 512, Fs);` %求数字系统的频率特性

此时执行的结果如图15-3(b)所示。从图中可见，横轴是实际的频率坐标，其单位为Hz，长度对应采样频率的一半。两个图形是完全一致的，差别仅在于频率轴的标注。



(a)



(b)

图15-3 用直接法设计的巴特沃斯数字高通滤波器特性

程序执行结果如下：

$$n = 6$$

$$wc = 0.3475$$

$$b = 0.1049 \quad -0.6291 \quad 1.5728 \quad -2.0971 \quad 1.5728 \quad -0.6291 \quad 0.1049$$

$$a = 1.0000 \quad -1.8123 \quad 2.0099 \quad -1.2627 \quad 0.5030 \quad -0.1116 \quad 0.0110$$

该系统的传递函数应为

$$H(z) = \frac{0.1049 - 0.6291z^{-1} + 1.5728z^{-2} - 2.0971z^{-3} + 1.5728z^{-4} - 0.6291z^{-5} + 0.1049z^{-6}}{1 - 1.8123z^{-1} + 2.0099z^{-2} - 1.2627z^{-3} + 0.503z^{-4} - 0.1116z^{-5} + 0.011z^{-6}}$$

**例15-3** 采用MATLAB直接法设计一个切比雪夫 I 型数字带通滤波器，要求：  $\omega_{p1} = 0.25\pi$ ，  $\omega_{p2} = 0.75\pi$ ，  $R_p = 1$  dB；  $\omega_{s1} = 0.85\pi$ ，  $\omega_{s2} = 0.15\pi$ ，  $A_s = 20$  dB。请描绘滤波器归一化的绝对和相对幅频特性、相频特性、零极点分布图，列出系统传递函数式。

**解** 程序如下：

```
ws1 = 0.15; ws2 = 0.85;           %数字滤波器的阻带截  
止频率  
ws = [ws1, ws2] ;
```

`wp1 = 0.25; wp2 = 0.75; %数字滤波器的通带截止频率`

`wp = [wp1, wp2] ;`

`Rp = 1; As = 20; %输入滤波器的通阻带衰减指标`

`[n, wc] = cheb1ord(wp, ws, Rp, As)%计算阶数n  
和截止频率`

`[b, a] = cheby1(n, Rp, wc)%直接求数字带通滤波  
器系数`

`[H, w] = freqz(b, a); %求数字系统的频率特性`

dbH = 20\*log10((abs(H) + eps)/max(abs(H)));    %化为分  
贝值

subplot(2, 2, 1), plot(w/pi, abs(H));

subplot(2, 2, 2), plot(w/pi, angle(H));

subplot(2, 2, 3), plot(w/pi, dbH);

subplot(2, 2, 4), zplane(b, a);

程序执行结果为

$$n = 3$$

$$wc = 0.2500 \ 0.7500$$

$$b = 0.1321 \ 0 \ -0.3964 \ 0 \ 0 \ -0.1321$$

$$a = 1.0000 \ -0.0000 \ 0.3432 \ 0.0000 \ 0.6044 \\ -0.0000 \ 0.2041$$

特性曲线如图15-4所示。



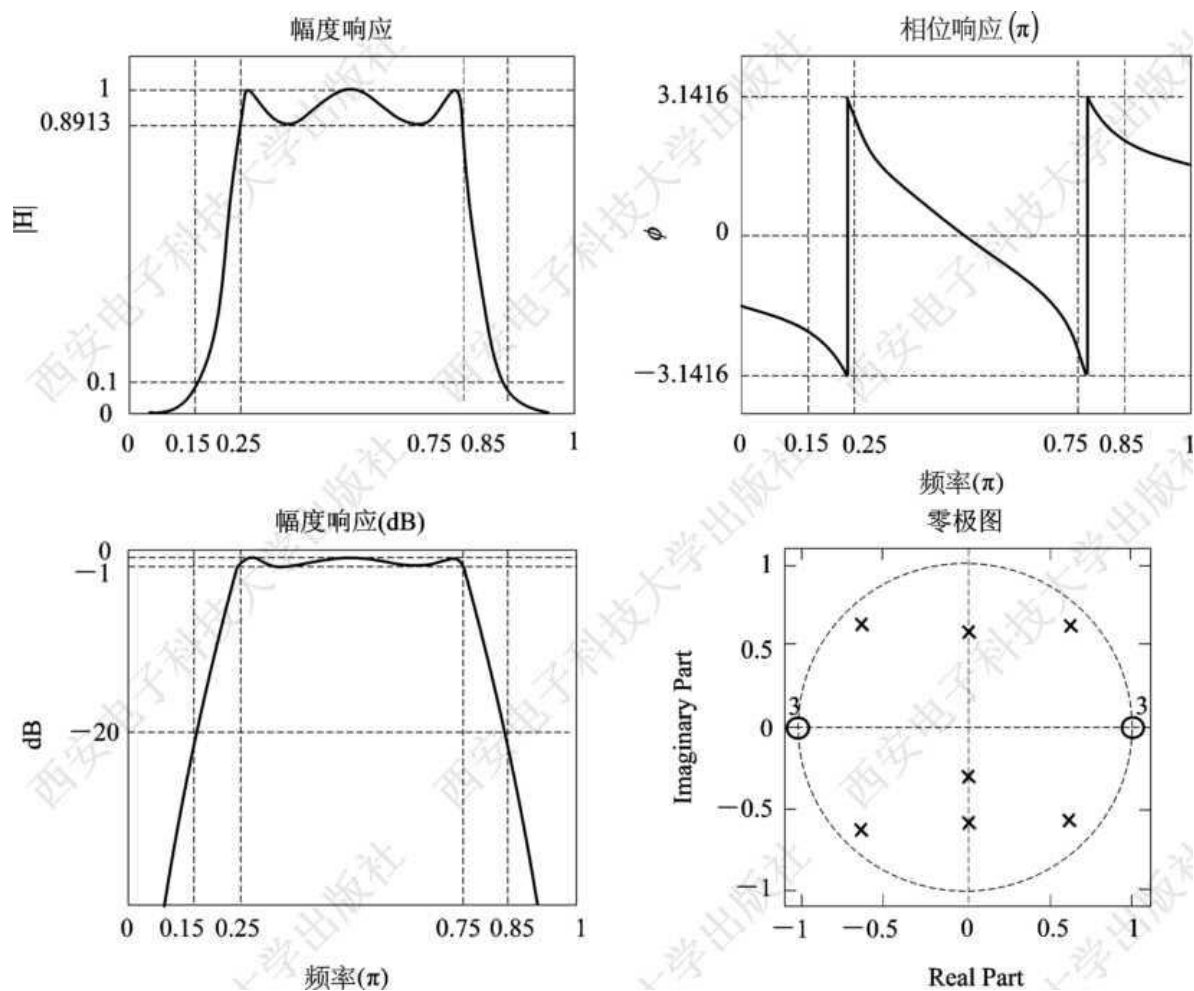


图15-4 用直接法设计的切比雪夫 I 型数字带通滤波器特性

由图15-4可以看出，这是一个归一化的频率响应曲线，基本满足通阻带设计指标。该系统是一个6阶的切比雪夫 I 型数字带通滤波器，其传递函数为

$$H(z) = \frac{0.1049 - 0.6291z^{-1} + 1.5728z^{-2} - 2.0971z^{-3} + 1.5728z^{-4} - 0.6291z^{-5} + 0.1049z^{-6}}{1 - 1.8123z^{-1} + 2.0099z^{-2} - 1.2627z^{-3} + 0.503z^{-4} - 0.1116z^{-5} + 0.011z^{-6}}$$

**例15-4** 采用MATLAB直接法设计一个切比雪夫Ⅱ型数字带阻滤波器，要求： $f_{p1} = 1.5 \text{ kHz}$ ， $f_{p2} = 8.5 \text{ kHz}$ ， $R_p = 1 \text{ dB}$ ； $f_{s1} = 2.5 \text{ kHz}$ ， $f_{s2} = 7.5 \text{ kHz}$ ， $A_s = 20 \text{ dB}$ ，滤波器采样频率 $F_s = 20 \text{ kHz}$ 。请描绘滤波器的绝对和相对幅频特性、相频特性、零极点分布图，列出系统传递函数。

**解** 该例题给出的条件是实际频率，在编程时，首先要将其化为数字频率，再把其求出的结果化为实际频率进行标注。

$$F_s = 20;$$

$ws1 = 2.5/(F_s/2); \quad ws2 = 7.5/(F_s/2); \quad \% \text{数字滤波器的阻带截止频率}$

$ws = [ws1, ws2] ;$

$wp1 = 1.5/(Fs/2); wp2 = 8.5/(Fs/2);$  %数字滤波器的通  
带截止频率

$wp = [wp1, wp2] ;$

$Rp = 1; As = 20;$  %输入滤波器的通阻带衰减指标

$[n, wc] = cheb2ord(wp, ws, Rp, As)$ %计算阶数n  
和截止频率

$[b, a] = cheby2(n, As, wc, 'stop')$ %直接求数字带  
通滤波器系数

$[H, w] = \text{freqz}(b, a, 512, F_s);$  %求数字系统的频率特性

作图部分的程序省略，程序执行结果为

$n = 3$

$wc = 0.2401 \ 0.7599$

$b = 0.1770 \ -0.0000 \ 0.2059 \ -0.0000 \ 0.2059 \ -0.0000 \ 0.1770$

$a = 1.0000 \ -0.0000 \ -0.7134 \ 0.0000 \ 0.5301 \ -0.0000 \ -0.0509$

特性曲线如图15-5所示。

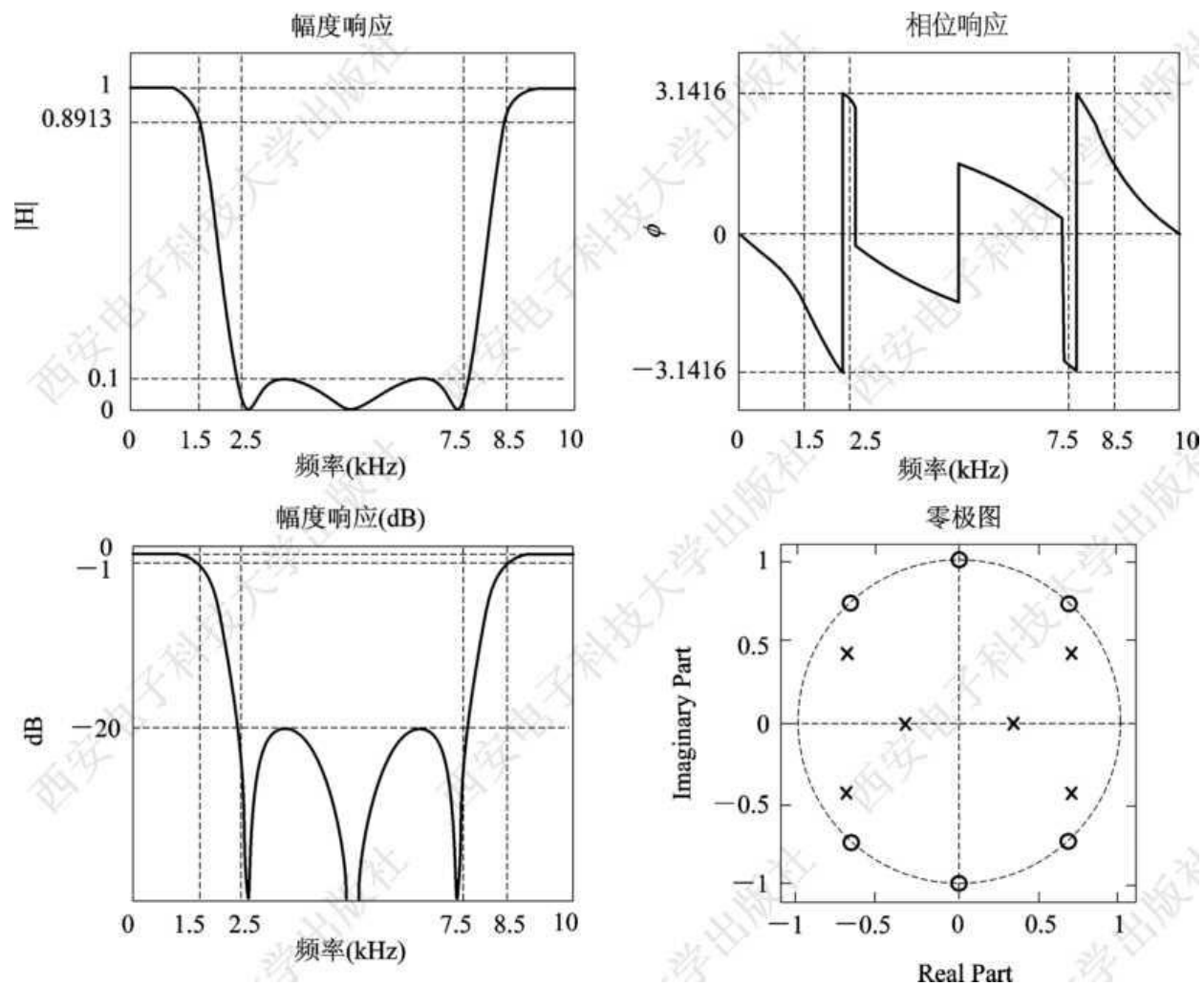


图15-5 用直接法设计的切比雪夫 II 型数字带阻滤波器特性

由图15-5可以看出，这是一个实际的频率响应曲线，横轴上使用实际频率值，以 kHz为单位，频率响应基本满足通阻带设计指标。该系统是一个6阶的切比雪夫Ⅱ型数字带阻滤波器，其传递函数为

$$H(z) = \frac{0.177 + 0.2059 z^{-2} + 0.2059 z^{-4} + 0.177 z^{-6}}{1 - 0.7134 z^{-2} + 0.5301 z^{-4} - 0.0509 z^{-6}}$$

## 4.采样频率对数字滤波器传递函数系数的影响

在前面的IIR数字滤波器设计中，从设计指标到频率响应曲线、零极点分布图都满足要求，是否实际的系统就一定能实现呢？回答是否定的。原因在于：MATLAB与DSP硬件系统在运算精度、动态范围上是不同的。MATLAB计算的精度往往高于硬件系统能够达到的精度。在DSP上使用C或汇编语言进行运算，一般采用单精度的浮点数或定点数。另外，A/D、D/A转换使用的芯片，其位数通常也比较低。这些都将造成一定的误差。



例如，DSP采用定点运算，首先需要对IIR数字滤波器设计的一组传递函数系数进行归一化处理，然后再转换为一组定点数，即化为一组  $-32768 \sim 32767$  之间的整数。下面我们来观察不同采样频率对经处理后的数字滤波器系数的影响。

**例15-5** 按与例15-1相同的指标，设计一个巴特沃斯数字低通滤波器，要求通带 $f_p = 150$  Hz， $R_p = 3$  dB；阻带 $f_s = 250$  Hz， $A_s = 20$  dB。改变滤波器采样频率 $F_s$ ，观察不同采样频率对经处理后的数字滤波器系数的影响。

**解** 编写下列程序：

%采样频率对数字滤波器传递函数系数的影响

$F_s = 600$ ;                      %输入数字滤波器采样频率

$f_p = 150$ ;    $w_p = f_p/F_s*2$ ;   %输入数字滤波器设计指标

$f_s = 250$ ;    $w_s = f_s/F_s*2$ ;

$R_p = 1$ ;  $A_s = 20$ ; %输入滤波器的通阻带衰减指标

$[n, w_c] = \text{buttord}(w_p, w_s, R_p, A_s)$ ; %计算阶数 $n$   
和截止频率

$[b, a] = \text{butter}(n, w_c)$  %直接求数字低通滤波器系数  
%进行归一化, 转换成  $-32768$  到  $32767$  之间的整数

$c = \max(\text{abs}(b))$ ;  $d = \max(\text{abs}(a))$ ;

$\text{maxba} = \max(c, d)$ ; %寻找系数中最大的数

$\text{bd} = \text{round}(b/\text{maxba} * 32767)$  %进行系数处理

$\text{ad} = \text{round}(a/\text{maxba} * 32767)$

$\text{zplane}(b, a)$ ;

根据提示，在MATLAB命令窗输入采样频率Fs的数据，  
将显示如下结果：

Fs = 600

b = 0.3324 0.9972 0.9972 0.3324

a = 1.0000 0.9687 0.5842 0.1064

bd = 10892 32676 32676 10892

ad = 32767 31741 19141 3488

此时，由图15-6(a)所示的零极点分布图上可以看见，这是一个稳定的系统。当 $F_s = 600 \text{ Hz}$ 时，既满足 $F_s \geq 2f_s$ ，又不是远大于 $2f_s$ 时设计出的数字滤波器系数在数量级上比较一致，且没有出现大于1的系数，不会由于进行定点数的处理而损失某些数据。

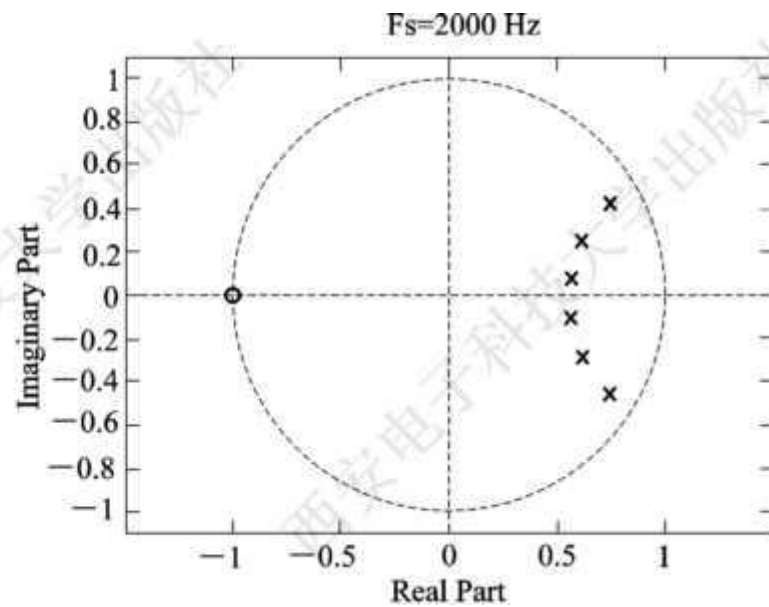
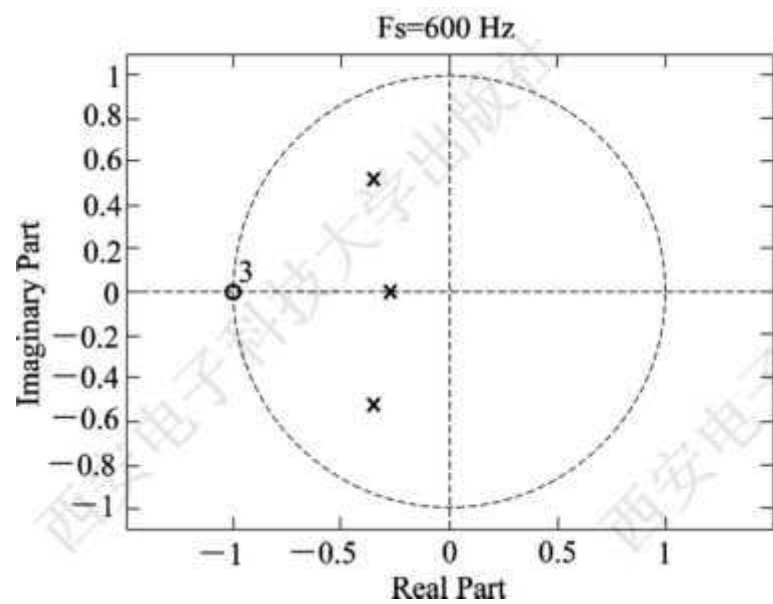


图15-6 输入不同采样频率时得到的零极点分布图

将Fs加大到2000Hz，观察下列数据：

$$F_s = 2000$$

$$b = 0.0002 \quad 0.0010 \quad 0.0026 \quad 0.0034 \quad 0.0026 \quad 0.0010 \quad 0.0002$$

$$a = 1.0000 \quad -3.8778 \quad 6.5266 \quad -6.0382 \quad 3.2201 \quad -0.9349 \quad 0.1151$$

出现系数除a0外大于1的情况。由于a0必须为1，对应定点处理后为32767，因此其它大于1的数将区别正、负系数，分别进行归一化处理。得到：

$$bd = \quad 6 \quad \quad 34 \quad \quad 85 \quad \quad 113 \quad \quad 85 \quad \quad 34 \quad \quad 6$$

$$ad = 32767 \quad -32768 \quad -32768 \quad -32768 \quad -32768 \quad -30632 \quad 3771$$

此时，由图15-6(b)所示的零极点分布图上可以看见，这是一个稳定的系统。但由于原大于1的系数被归一，损失了部分信息，因此再把这些数据输入DSP等硬件系统进行处理时，这个数字滤波器就会出现很大误差，甚至不能实现。